

# Sobre um novo índice de desempenho tipo $H_2$ para sistemas lineares com saltos markovianos a tempo discreto e cadeia de Markov escondida

Junior R. Ribeiro<sup>1</sup>, Luiz H. Romero<sup>2</sup>, Eduardo F. Costa<sup>3</sup>

<sup>1 2 3</sup>USP, São Carlos, SP

**Resumo.** Neste trabalho, abordamos a norma  $H_{2rti}$  recentemente introduzida para sistemas lineares com saltos Markovianos a tempo discreto, através de um levantamento estatístico sob a forma de *performance profile*, ou perfil de desempenho. Comparamos duas soluções sintetizadas via desigualdades lineares matriciais para o problema de controle nesta classe de sistemas, com observação parcial da cadeia de Markov via detector, para o clássico problema  $H_2$  e para o novo índice de *performance*  $H_{2rti}$  baseado em impulso em tempo aleatório. Instâncias aleatórias foram geradas e os perfis são semelhantes para cadeias ergódicas e apontam uma clara superioridade do  $H_{2rti}$  para cadeias periódicas.

**Palavras-chave.** Sistemas lineares com saltos Markovianos, cadeia de Markov escondida, norma  $H_2$ , sistemas lineares estocásticos.

## 1 Introdução

Os sistemas de controle são importantes para a sociedade, podendo ser encontrados na indústria, nas casas, nos veículos e em diversas aplicações. Entre os diversos requisitos de um sistema de controle, é essencial a criação de mecanismos que possibilitem que o sistema continue a operar de forma segura ante falhas e mudanças abruptas em suas estruturas internas. Nesse contexto, os Sistemas Lineares com Saltos Markovianos (SLSM, ou no inglês, *Markov Jump Linear Systems - MJLS*) destacam-se e têm sido um tema de pesquisa muito ativo nas últimas décadas, com diversos resultados na literatura [1–3, 5, 7–9].

Os SLSM constituem uma classe de sistemas dinâmicos lineares estocásticos, com um conjunto finito  $\mathbf{M}$  de *modos de operação*, que são modelos para cada uma de suas dinâmicas internas. Estes modos são representados por uma cadeia de Markov (aqui denotada por  $\theta$ ). No contexto deste trabalho, trataremos dos SLSM a tempo discreto, onde a cada instante de tempo  $k \geq 0$  o sistema está atuando com uma dinâmica específica de  $\mathbf{M}$ . No entanto, no próximo instante  $k+1$  a dinâmica interna pode “saltar” de  $\theta(k) = i$  para  $\theta(k+1) = j$ ,  $j \neq i$ , aleatoriamente, de acordo com a cadeia de Markov.

Uma dificuldade bastante comum na implementação dos SLSM é quanto à observação dos modos do sistema. A observação perfeita (sem erros) da cadeia é inviável ou dificultada em várias aplicações do mundo real, e assim torna-se importante uma abordagem sem a observação da cadeia ou, pelo menos, com observação indireta ou imperfeita. No presente trabalho, a cadeia de Markov não é observada diretamente, mas por meio de um detector (aqui denotado por  $\eta$ ), que é um processo estocástico ligado à cadeia e que é observado. Esse cenário de observação é comumente chamado de cadeia de Markov escondida ou simplesmente detector (*hidden Markov chain*

---

<sup>1</sup>j5rodrib@gmail.com

<sup>2</sup>neoluizz@gmail.com

<sup>3</sup>efcosta@icmc.usp.br

ou *detector approach*). Assim, a cada instante, a cadeia no estado  $\theta(k) = i$  excitará uma saída do detector  $\eta(k) = \ell$  com uma determinada probabilidade  $q_{i\ell}$ .

Uma política de controle  $\{u(k), k \geq 0\}$  pode ser avaliada sob diferentes índices de *performance*, um dos quais é amplamente conhecido como “norma  $H_2$ ”. Este índice, a grosso modo, avalia o quão rápido a política faz o sistema convergir para um ponto de equilíbrio, que normalmente é o zero. Mais especificamente, com o sistema em equilíbrio (em zero) é aplicado um impulso unitário no tempo  $k = 0$  para perturbá-lo, e então é medido como a norma da saída do sistema responde ao impulso ao longo do tempo, dando-nos uma medida de desempenho da política escolhida, conforme a norma convirja mais ou menos rapidamente para zero. Já existe uma solução via Desigualdades Lineares Matriciais (*Linear Matrix Inequalities-LMIs*) bastante conhecida referente ao índice  $H_2$ , apresentada no *Theorem 3* de [7] (e reproduzida aqui, no Teorema 3.1, por conveniência).

Ocorre que a norma  $H_2$  não é invariante no tempo, de forma que, se o impulso for aplicado em diferentes instantes, teremos diferentes valores de norma  $H_2$ , vide [6]; nesse artigo, motivado por esta questão da variância no tempo da norma  $H_2$ , os autores trazem um novo índice de *performance* chamado  $H_{2\text{rti}}$  ( $H_2$  with random-time impulse –  $H_2$  com impulso em tempo aleatório), que é um índice baseado no  $H_2$ , mas invariante no tempo.

No presente artigo, trazemos uma comparação entre os desempenhos das políticas de controle calculadas com ambos os índices  $H_2$  (utilizando as LMIs do *Theorem 3* de [7]) e  $H_{2\text{rti}}$  (utilizando as LMIs do *Theorem 3* de [6]), em termos da norma da saída como resposta a perturbações gaussianas e perturbações do tipo “zero-um”, em quatro intervalos de tempo entre  $k = 500$  e  $k = 4000$ , como explicado na Seção 4.

Geramos dois grupos de instâncias aleatórias, um com cadeias de Markov ergódicas e outro com cadeias periódicas. Os resultados obtidos apontam clara superioridade da solução obtida com o índice  $H_{2\text{rti}}$  para cadeias periódicas; para cadeias ergódicas o desempenho das soluções de ambos os índices são semelhantes.

## 2 Notações e definições

Neste artigo, as configurações são como em [6, 7]. Consideramos o espaço de probabilidade fundamental  $(\Omega, \mathcal{P}, \mathfrak{F})$ , munido do operador esperança  $\mathbb{E}(\cdot)$  e esperança condicional  $\mathbb{E}(\cdot | \cdot)$ . O espaço de estados da cadeia de Markov  $\theta$  é  $\mathbf{M} = \{1, \dots, N\}$ , com  $\theta = \{\theta(k) \in \mathbf{M}, k \geq 0\}$ , e o espaço de estados do detector  $\eta$  é  $\mathbf{D} = \{1, \dots, N_d\}$ , com  $\eta = \{\eta(k) \in \mathbf{D}, k \geq 0\}$ . Assumimos que, para todo  $i, j \in \mathbf{M}, \ell \in \mathbf{D}$ ,

$$\begin{cases} \mathcal{P}(\theta(k+1) = j | \theta(k) = i) = p_{ij}, & \mathcal{P}(\theta(k) = i) = \pi_i(k), \\ \mathcal{P}(\eta(k) = \ell | \theta(k) = i) = q_{i\ell}. \end{cases} \quad (1)$$

Ainda, escrevemos  $\mathbf{D}_i = \{\ell \in \mathbf{D} : q_{i\ell} > 0\}$  o conjunto das saídas  $\ell$  excitadas por  $i$ . Abaixo, o SLSM em estudo é denotado por  $\Phi$ .

$$\Phi : \begin{cases} x(k+1) = A_{\theta(k)}x(k) + B_{\theta(k)}u(k) + E_{\theta(k)}w(k), \\ y(k) = C_{\theta(k)}x(k) + D_{\theta(k)}u(k), \\ \theta(0) \sim \pi(0), x(0) = 0. \end{cases} \quad (2)$$

Os parâmetros do SLSM são as matrizes reais conhecidas  $A_i, B_i, E_i, C_i, D_i$  de dimensões  $n \times n, n \times n_u, n \times n_w, n_y \times n$  e  $n_y \times n_u$  respectivamente, para todo  $i \in \mathbf{M}$ . Os processos  $\{x(k)\}, \{u(k)\}, \{w(k)\}$  e  $\{y(k)\}$  são respectivamente o *componente contínuo do estado*<sup>4</sup> do sistema, o *controle*,

<sup>4</sup>O estado do sistema no instante  $k$  é dado pelo par  $(x(k), \theta(k))$ , em que o componente  $x(k)$  pertence a  $\mathbb{R}^n$ , espaço contínuo, e  $\theta(k)$  pertence a  $\mathbf{M}$ , espaço discreto.

a entrada exógena e a saída. A distribuição inicial  $\pi(0)$  é dada. Nesse modelo, assumimos uma política de controle de realimentação de estado na forma

$$u(k) = K_{\eta(k)}x(k), \tag{3}$$

em que as matrizes reais  $K = \{K_\ell \in \mathbb{R}^{n_u \times n}, \ell \in \mathbf{D}\}$  são chamadas *ganhos do controle*.

Para cada  $j \in \mathbf{M}$  e um conjunto de matrizes reais  $V = \{V_{i\ell} \in \mathbb{R}^{n \times n} : i \in \mathbf{M}, \ell \in \mathbf{D}\}$ , definimos os operadores

$$\mathcal{D}_j(V) = \sum_{i \in \mathbf{M}} \sum_{\ell \in \mathbf{D}_i} p_{ij} q_{i\ell} V_{i\ell}.$$

Considere  $e_j$  sendo o  $j$ -ésimo vetor da base canônica de  $\mathbb{R}^{n_w}$ ,  $\tau \geq 0$  inteiro fixado, e o processo estocástico  $\mathbf{e}_\tau = \{\mathbf{e}_\tau(k), k \geq 0\}$  satisfazendo  $\mathcal{P}(\mathbf{e}_\tau(\tau) = e_j) = 1/n_w$  para cada  $j = 1, \dots, n_w$ , e  $\mathcal{P}(\mathbf{e}_\tau(k) = 0) = 1$  para todo  $k \geq 0, k \neq \tau$ . As seguintes definições são adaptadas de [6].

**Definição 2.1.** A norma  $H_2$  associada ao sistema  $\Phi$ , denotada por  $\|\Phi\|_2$ , é definida por

$$\|\Phi\|_2^2 = n_w \sum_{k=0}^{\infty} \mathbb{E} \left( \mathbb{E}(\|y(k)\|^2 \mid w(k) = \mathbf{e}_0(k)) \right). \tag{4}$$

Vale a pena mencionar que os autores em [6] escrevem uma definição diferente da clássica para o índice  $H_2$ , facilitando a notação e os cálculos. Nessa modificação, o impulso unitário foi substituído pelo processo estocástico  $\mathbf{e}_\tau$ , com  $\tau = 0$ . No *Remark 1* do artigo, eles mostram a equivalência das duas definições, simplesmente usando o teorema de probabilidade total.

**Definição 2.2.** A norma  $H_{2rti}$  associada ao sistema  $\Phi$ , denotada por  $\|\Phi\|_{2rti}$ , é definida por

$$\|\Phi\|_{2rti}^2 = \lim_{\tau \rightarrow \infty} n_w \sum_{k=0}^{\infty} \mathbb{E} \left( \mathbb{E}(\|y(k)\|^2 \mid w(k) = \mathbf{e}_{T_\tau}(k)) \right), \tag{5}$$

em que  $T_\tau$  é uma variável aleatória uniforme discreta no conjunto  $\{0, 1, \dots, \tau - 1\}$ .

### 3 Soluções para $H_2$ e $H_{2rti}$

Para sintetizar o ganho  $K$ , precisamos resolver um problema de LMIs, que dispomos a seguir. Vamos escrever as soluções para o problema no próximo teorema, cuja prova pode ser encontrada em [6]. Considere a função objetivo dada por

$$f_O = \sum_{i \in \mathbf{M}} \sum_{\ell \in \mathbf{D}_i} q_{i\ell} \text{tr}(W_{i\ell}),$$

em que  $\text{tr}(\cdot)$  representa o traço de matriz. O problema de otimização é

$$\begin{aligned} & \min_{R_{i\ell}, W_{i\ell}, G_\ell, F_\ell} f_O \\ & \text{sujeito a } \begin{cases} \begin{bmatrix} R_{i\ell} - \mu_i E_i E_i' & A_i G_\ell + B_i F_\ell \\ (A_i G_\ell + B_i F_\ell)' & G_\ell + G_\ell' - \mathcal{D}_i(R) \end{bmatrix} > 0, \\ \begin{bmatrix} W_{i\ell} & C_i G_\ell + D_i F_\ell \\ (C_i G_\ell + D_i F_\ell)' & G_\ell + G_\ell' - \mathcal{D}_i(R) \end{bmatrix} \geq 0, \end{cases} \end{aligned} \tag{6}$$

para todo  $i \in \mathbf{M}$  e para todo  $\ell \in \mathbf{D}_i$ , em que  $\mu \in [0, 1]^N$  é uma distribuição específica, explicada nos teoremas a seguir.

**Teorema 3.1** ([7], *Theorem 3*). Se  $\mu = \pi(0)$ , com  $F_\ell$  e  $G_\ell$  no conjunto factível de (6), então os ganhos  $K_\ell = F_\ell G_\ell^{-1}$ ,  $\ell \in \mathbf{D}$ , levam a  $f_O \geq \|\Phi\|_2^2$ .

**Teorema 3.2** ([6], *Theorem 3*). Se  $\mu = \lim_{k \rightarrow \infty} \frac{1}{k} \sum_{t=0}^{k-1} \pi(t)$ , com  $F_\ell$  e  $G_\ell$  no conjunto factível de (6), então os ganhos  $K_\ell = F_\ell G_\ell^{-1}$ ,  $\ell \in \mathbf{D}$ , levam a  $f_O \geq \|\Phi\|_{2\text{rti}}^2$ .

Nos Teoremas 3.1 e 3.2, temos que  $f_O$  é apenas um limitante superior para  $\|\Phi\|_2^2$  e  $\|\Phi\|_{2\text{rti}}^2$  em cada caso, de forma a permitir calcular os ganhos  $K$ . O valor exato de  $\|\Phi\|_2^2$  e  $\|\Phi\|_{2\text{rti}}^2$  é calculado via *Proposition 4* de [7] e *Theorem 3* de [6], respectivamente, mas não é o foco neste trabalho.

## 4 Geração de instâncias e comparação dos índices

Neste trabalho, geramos 500 instâncias aleatórias com cadeia de Markov ergódica e mais 500 com cadeia periódica. Todos os modos, de forma individual, são controláveis e observáveis no sentido clássico [4]. Em cada uma dessas instâncias, calculamos o ganho  $K$  conforme os Teoremas 3.1 e 3.2, e aplicamos em (2)-(3) com duas entradas exógenas  $\{w(k)\}$ . Em um teste, a entrada exógena é gaussiana:  $w(k) = [s_1, \dots, s_{n_w}]'$ , em que  $s_j \sim N(0, 1)$  são variáveis aleatórias gaussianas para todo  $j = 1, \dots, n_w$  para todo  $k \in \mathcal{S}$ , em que  $\mathcal{S} = \{500, \dots, 999\} \cup \{1500, \dots, 1999\} \cup \{2500, \dots, 2999\} \cup \{3500, \dots, 3999\}$ , e para  $k \notin \mathcal{S}$ , arbitramos  $w(k) = 0$ . Em outro teste, empregamos o sinal zero-um:  $w(k) = [1, \dots, 1]'$  para  $k \in \mathcal{S}$ , caso contrário,  $w(k) = [0, \dots, 0]'$ .

Como os índices  $H_2$  e  $H_{2\text{rti}}$  são diferentes, não faz sentido comparar  $\|\Phi\|_2$  com  $\|\Phi\|_{2\text{rti}}$ . Em vez disso, estimamos  $Y = \sum_{k=0}^{\infty} \mathbb{E}(\|y(k)\|^2)$  via simulação de Monte Carlo com 8000 repetições para cada instância gerada, com a entrada exógena gaussiana e com a entrada zero-um definidas acima. Denotaremos  $Y_2$  e  $Y_{2\text{rti}}$  os valores de  $Y$  correspondentes aos índices  $H_2$  e  $H_{2\text{rti}}$  respectivamente.

Os resultados obtidos são apresentados como *performance profile* ou perfil de desempenho. Nesse gráfico, o eixo das abscissas é disposto no intervalo  $[1, f]$  e o eixo das ordenadas em  $[0, 1]$ , em que  $f > 1$  é uma folga arbitrada. Consideremos o gráfico referente ao índice  $H_2$  e tomemos um ponto  $(x, y)$ . A ordenada  $y \in [0, 1]$  representa o percentual das instâncias em que  $Y_2 \leq x \cdot \min(Y_2, Y_{2\text{rti}})$ , para  $x \in [1, f]$ . No caso do índice  $H_{2\text{rti}}$ , a ordenada  $y \in [0, 1]$  representa o percentual das instâncias em que  $Y_{2\text{rti}} \leq x \cdot \min(Y_2, Y_{2\text{rti}})$ , para  $x \in [1, f]$ .

## 5 Resultados

Foram gerados dois conjuntos de instâncias, um dos quais com cadeia de Markov ergódica e outro com cadeia periódica, cujos resultados diferiram bastante, como veremos nos gráficos adiante. Na figura 1, vemos o exemplo da saída média de uma das instâncias, com  $n_y = 1$ .

A comparação do desempenho dos ganhos  $K$  calculados segundo os Teoremas 3.1 e 3.2 com a entrada gaussiana está representada na Figura 2. Pode-se perceber que ambos os índices têm praticamente o mesmo perfil para instâncias com cadeia ergódica, conforme visto na Figura 2a. Neste perfil, tivemos  $Y_{2\text{rti}} \leq Y_2$  em 50,6% das instâncias e  $Y_2 \leq Y_{2\text{rti}}$  em 50,2% das instâncias geradas. Por outro lado, para cadeia periódica, vemos a superioridade do índice  $H_{2\text{rti}}$  na Figura 2b. Neste perfil, tivemos  $Y_{2\text{rti}} \leq Y_2$  em 73,4% das instâncias e  $Y_2 \leq Y_{2\text{rti}}$  em 26,6% das instâncias.

Com o sinal zero-um (Figura 3), os perfis relativos a  $H_2$  e  $H_{2\text{rti}}$  são semelhantes para cadeia ergódica, com resultados melhores com índice  $H_2$  em 53,2% das instâncias geradas, contra 47,6% do  $H_{2\text{rti}}$ ; vide Figura 3a. Para cadeia periódica,  $H_{2\text{rti}}$  é melhor em 62,2% das instâncias, contra 47,6% do  $H_2$ , como se pode observar na Figura 3b.

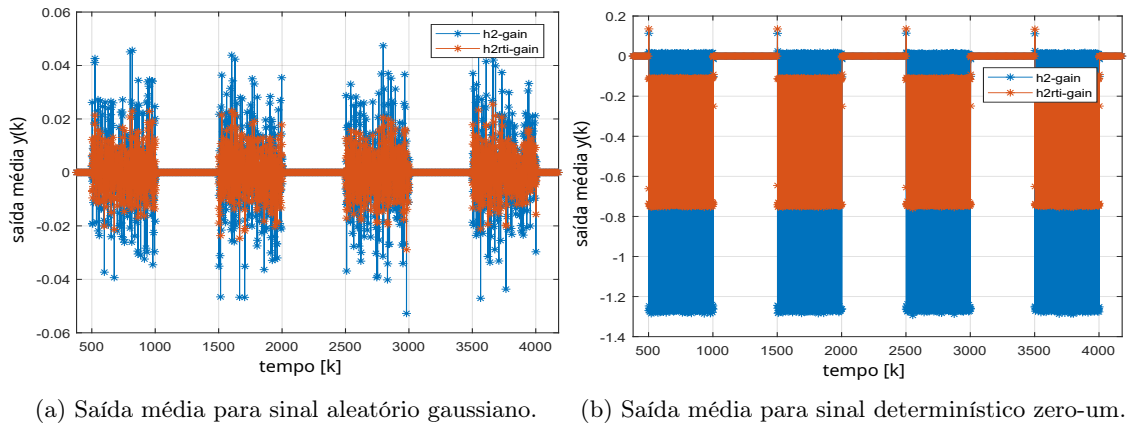


Figura 1: Exemplos de saídas: um sinal gaussiano e um determinístico. Fonte: autoria própria.

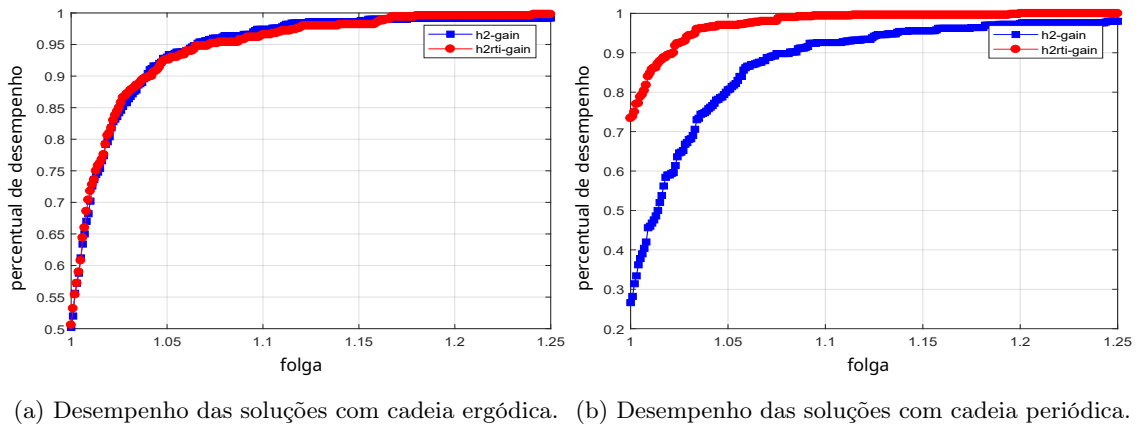


Figura 2: *Performance profile* para entrada gaussiana comparando as soluções calculadas sob os índices  $H_2$  (marcado com ■) e  $H_{2rti}$  (marcado com ●). Fonte: autoria própria.

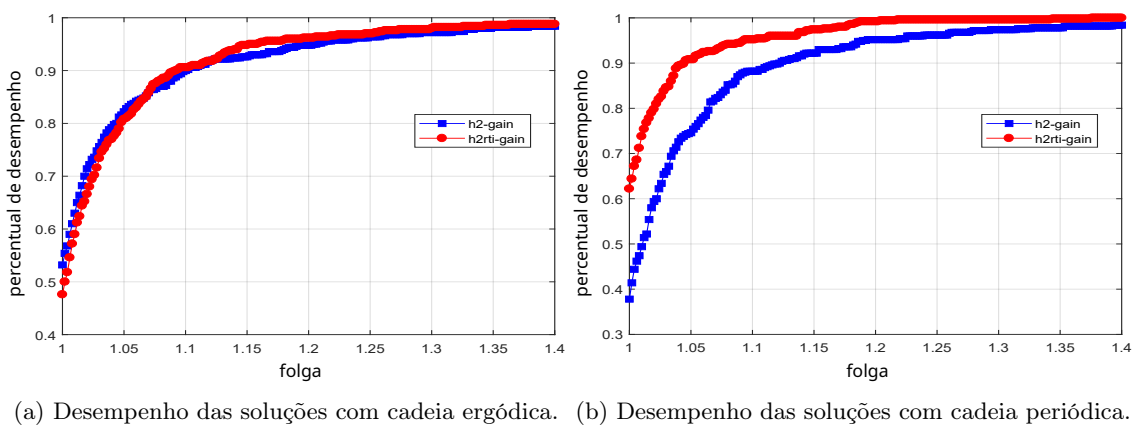


Figura 3: *Performance profile* para entrada zero-um comparando as soluções calculadas sob os índices  $H_2$  (marcado com ■) e  $H_{2rti}$  (marcado com ●). Fonte: autoria própria.

## 6 Considerações Finais

Trouxemos uma estatística comparando as soluções para o problema de controle de Sistemas Lineares com Saltos Markovianos a tempo discreto com observação indireta da cadeia de Markov via detector, onde a solução calculada sob o índice de desempenho clássico  $H_2$  foi confrontada com a solução de um novo índice de desempenho, chamado  $H_{2rti}$ . Foram geradas instâncias aleatórias e observadas suas respostas a um sinal de ruído gaussiano e sinal zero-um, separadas em dois grupos: um grupo de problemas com cadeia ergódica, no qual o desempenho de ambas as soluções foi semelhante para ambas as entradas, e outro grupo com cadeia periódica, onde o índice  $H_{2rti}$  se mostrou mais eficaz em 73,4% das instâncias com entrada gaussiana e 62,2% com entrada zero-um.

## Agradecimentos

O presente trabalho foi realizado com apoio financeiro do Conselho Nacional de Desenvolvimento Científico e Tecnológico (CNPq) sob número 316534/2021-8 e CNPq-Universal 421486/2016-3, pela Fundação de Amparo à Pesquisa do Estado de São Paulo (FAPESP) sob número FAPESP-CEPID 2013/07375-0, e com apoio da Coordenação de Aperfeiçoamento de Pessoal de Nível Superior - Brasil (CAPES) - Código de Financiamento 001.

## Referências

- [1] O. L. V. Costa, M. D. Fragoso e R. P. Marques. **Discrete-Time Markovian Jump Linear Systems**. London: Springer, 2005. DOI: [10.1007/b138575](https://doi.org/10.1007/b138575).
- [2] Vasile Dragan, Toader Moroşan e Adrian-Mihail Stoica. **Mathematical Methods in Robust Control of Discrete-Time Linear Stochastic Systems**. Springer New York, NY, 2009. ISBN: 9781441906298. DOI: [10.1007/978-1-4419-0630-4](https://doi.org/10.1007/978-1-4419-0630-4).
- [3] M. Khanbaghi, R. Malhame e M. Perrier. “White water and broke recirculation policies in paper mills via Markovian jump linear quadratic control”. Em: **Proceedings of the 1998 American Control Conference. ACC (IEEE Cat. No.98CH36207)**. Vol. 2. 1998, 738–743 vol.2. DOI: [10.1109/ACC.1998.703505](https://doi.org/10.1109/ACC.1998.703505).
- [4] The MathWorks. **State-Space Realizations**. <https://www.mathworks.com/help/ident/ug/canonical-state-space-realizations.html>. Online; acesso em 30/04/2023. 2013.
- [5] A. M. de Oliveira e O. L. V. Costa. “Mixed  $H_2/H_\infty$  control of hidden Markov jump systems”. Em: **International Journal of Robust and Nonlinear Control** 28.4 (2018), pp. 1261–1280. DOI: [10.1002/rnc.3952](https://doi.org/10.1002/rnc.3952).
- [6] Luiz H. Romero, Junior R. Ribeiro e Eduardo F. Costa. “On the  $H_2$  Control of Hidden Markov Jump Linear Systems”. Em: **IEEE Control Systems Letters** 7 (2023), pp. 1315–1320. DOI: [10.1109/LCSYS.2023.3236892](https://doi.org/10.1109/LCSYS.2023.3236892).
- [7] O. L. do Valle Costa, M. D. Fragoso e M. G. Todorov. “A Detector-Based Approach for the  $H_2$  Control of Markov Jump Linear Systems With Partial Information”. Em: **IEEE Transactions on Automatic Control** 60.15 (2015), pp. 1219–1234. DOI: [10.1109/TAC.2014.2366253](https://doi.org/10.1109/TAC.2014.2366253).
- [8] Wei Wang e Chunyan Han. “Optimal filter for discrete-time Markov jump systems with measurement-delays and packet dropouts”. Em: **2020 39th Chinese Control Conference (CCC)**. 2020, pp. 991–996. DOI: [10.23919/CCC50068.2020.9188997](https://doi.org/10.23919/CCC50068.2020.9188997).
- [9] Zheng-Guang Wu et al. “ $H_2$  Performance Analysis and Applications of 2-D Hidden Bernoulli Jump System”. Em: **IEEE Transactions on Systems, Man, and Cybernetics: Systems** 49.10 (2019), pp. 2097–2107. DOI: [10.1109/TSMC.2017.2745679](https://doi.org/10.1109/TSMC.2017.2745679).